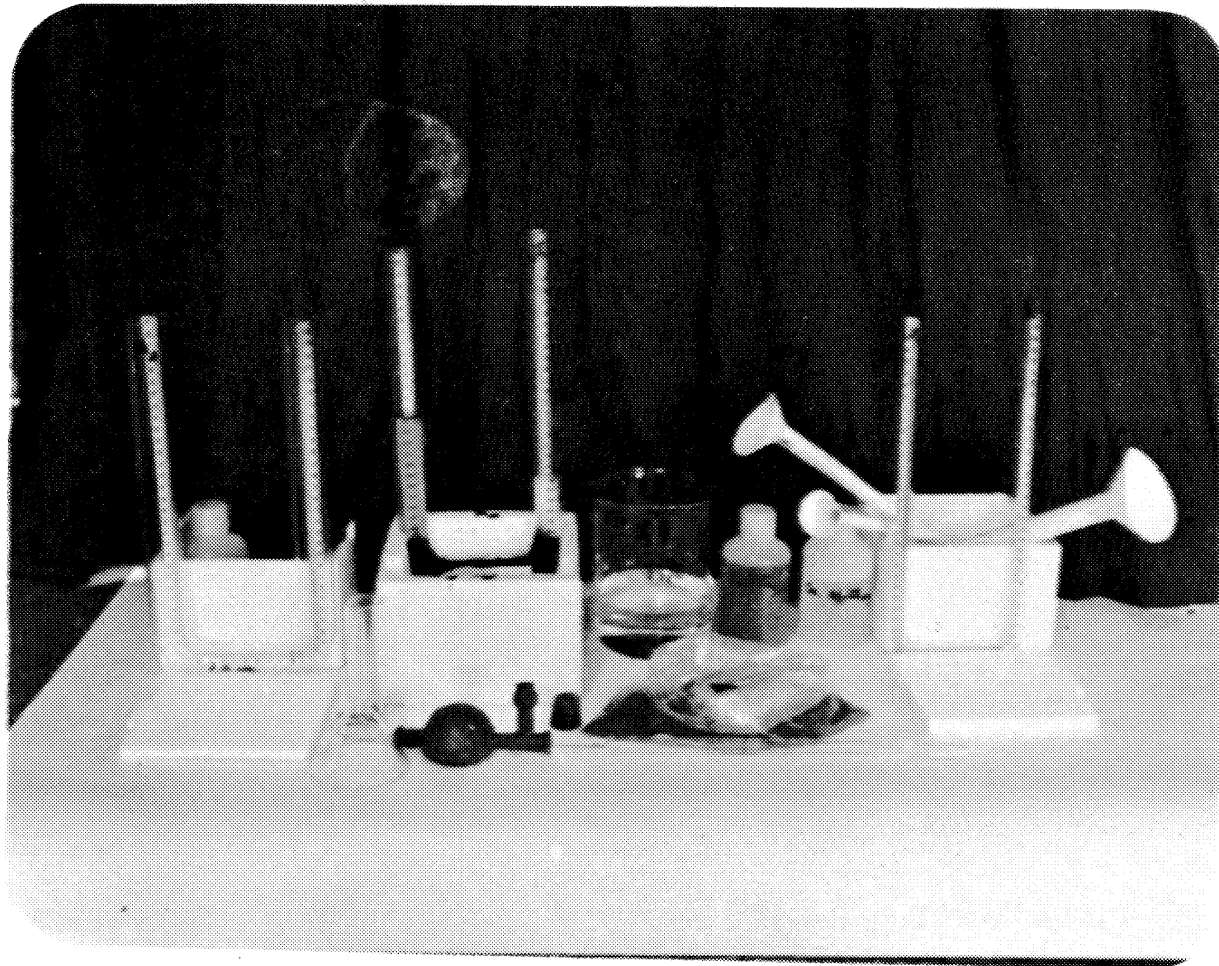


藉土壤以探討滲透平衡定律

高中教師組化學第三名

臺南女子高級中學

作 者：葉 文 鶴



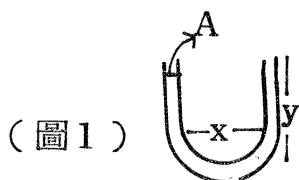
一、前言：

曾經以 U型管、半透膜、探討流體之動力現象，界定了滲透壓並體認微觀下的滲透意義。又，由高中地球科學課本關於岩石、土壤中地下水滲流，所提「達西法則」。引起以「化學動力學」統整滲透概念的興趣，於是，以地殼中化性最安定，物理組織易於觀測的土壤為界面。在可逆系中，尋求「滲流速率定律 $V = k \cdot h_o^n$ 」，並延伸得「滲透平衡定律 $K = \frac{h_{of}^n}{h_{or}^m} = \frac{k_r}{k_f}$ 」。

二、計劃：

規律性的尋求，切忌範圍狹小，所以安排：

1 可逆系



詳如圖 1 所示，分別以 $x = 9.4\text{ cm}$
而 $A = 1.1, 3.8, 6.2\text{ cm}^2$ 之 U 型玻
璃管 ($x + 2y = \ell\text{ m}$)，管壁貼以 cm
爲單位刻度之標尺爲之。

2 界面：收集不同來源之土壤四種。經過漂洗（以去除可能含有之不同污染）烘乾，以篩分析儀（如圖 2，略）分析，比較其物理組織，如表 1、圖 3（附於後）。由圖 3 知，最可能粒徑大小順序爲 ${}_3P_0 > {}_2P_0 > {}_4P_0 > {}_1P_0$ 。故，以 ${}_1P_0$, ${}_4P_0$,
 ${}_3P_0$, ${}_2P_1$, ${}_3P_1$, ${}_4P_2$ 為不同長度（厚度）之不同界面。（ $L_1 = 16\text{ cm}$, $L_2 = 20\text{ cm}$, $L_3 = 24\text{ cm}$ ）

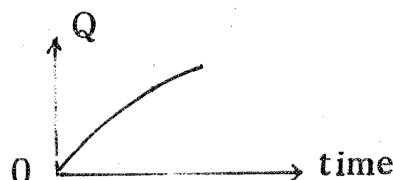
三、觀測：

1 裝置如圖 1。

2 以 $H_2O_{(l)}$ ，使土壤含飽和水。

3 一側加塞，另一側注入液體 (H_2O , $CuSO_{4(aq)}$, $NaCl_{(aq)}$)

4 當兩側液柱差爲 16 cm ，即去塞並做不同時間 t ，滲流高度 Q 之記錄，如圖 4（附於後）中黑色曲線（共 62 次觀測）。



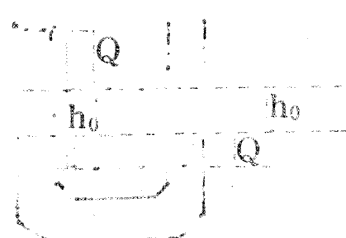
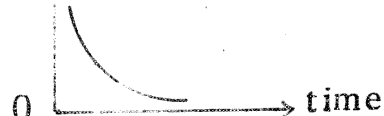
四、資料分析：

1 滲流速率 V ，變化趨勢：由圖 4

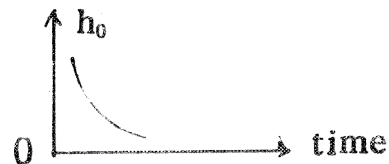
諸黑色曲線知

2 滲流初壓 h_0 ，變化趨勢：

(1) 據於裝置如右，分析知滲流 Q 高度後 $h_0 \rightarrow h'_0$ ，且 $h'_0 = h_0 - 2Q$ 。



(2) 於圖 4，定出各 t 分鐘之滲流初壓 h_0 ，繪成藍色曲線。



3. 渗流速率 V ，與滲流初壓 h_0 之關係判斷：

綜合分析 1.2，發現 $V = \frac{-dh_0}{dt} = k \cdot h_0^n$ 之規律性，命 k 為滲流速率常數， n 為滲流階次（Order）。故

$$(1) \text{當 } n = 0, \text{ 則 } V = -\frac{dh_0}{dt} = k \cdot h_0^{\circ} = k \quad \Rightarrow -dh_0 = k \cdot dt$$

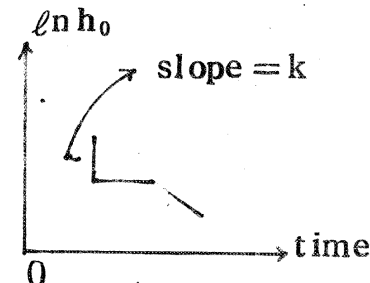
以 $h_0 t = \frac{1}{2} h_0$ 代入(a) 得 $\frac{1}{2} h_0 = h_0 - kt'$

$$(2) \text{當 } n = 1, \text{ 則 } V = -\frac{d h_0 t}{d t} = k \cdot h'_0$$

$$\text{即 } -\frac{d h_0 t}{h_0} = k \cdot dt$$

$$\text{積分得 } h_0 t = h_0 + e^{-kt} \dots\dots(c)$$

$$\text{即 } \ln h_0 t = \ln h_0 + \ln e^{-kt} \\ = \ln h_0 - kt \dots$$

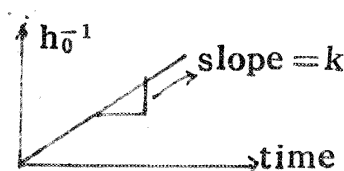


以 $h_0 t = \frac{1}{2} h_0$ 代入(c), 得 $\frac{1}{2} = e^{-kt'}$

$$t' \text{ 為半衰期，且 } t' = \frac{0.693}{k} \quad \dots \dots \dots \text{(e)}$$

$$(3) \text{當 } n = 2, \text{ 則 } V = -\frac{d h_0 t}{d t} = k \cdot h_0^2$$

$$\text{即} -\frac{dh_0}{h_0^2} = h \cdot dt$$



$$\text{以 } h_0 t = \frac{1}{2} h_0 \text{ 代入(f) 得 } \frac{2}{h_0} = \frac{1}{h_0} + k t'$$

$$t' \text{ 為半衰期，且 } t' = \frac{\ln 2}{k_1 k_2} \dots \dots \dots (8)$$

(4) 於圖 4，藍色曲線，定出半衰期 (.....) 及對應的 h_0 ，分別代入(b)、(c)、(g) 記錄於表 2 (附於後)，以推斷 k 、 n 。

(5)以(d)(f)(初速度法)繪製圖5、6證明 $n = 1$ 之滲流。繪製圖7，以證明 $n = 2$ 之滲流。並求得平均 k 值。(圖附於後)

五、結果與討論：

1 渗流速率定律：

$V = k \cdot h_0^n$ 足以描述任一滲流現象，且由資料顯示，

(1) k 與界面之截面積無關：

因， V 定義為單位面積，單位時間之滲流量。本實驗都以

$\frac{\text{cm.}}{\text{min.}}$ 度量之。

(2) k 隨界面厚度(L)之增大而減小：

由表2中 $k' = k \cdot L$ 知各同種成份之界面，百分偏差為 $L_3 > L_2 > L_1$ 。

(3) k' 決定於界面之物理織：

(a) k' 之各成份平均百分偏差是： ${}_1P_0 > {}_3P_1 > {}_3P_0 > {}_4P_2$
 $= {}_2P_1 > {}_4P_0$ ，且配合圖 3，知粒徑不均勻、粒徑小為造成滲流過程中，界面物理組織之不安定使 k' 發生偏差。

(b) k' 在同成份之百分偏差是： $L_3 > L_2 > L_1$ ，知滲流流路越長（界面厚度越大），則易致物理組織之不安定，而 k' 偏差。

(c) k' 之偏差大者，於滲流過程中出現透過液之混濁。如 P_0 ， $3P_0$ 及 No. 163，No. 166 等。

(4) k 決定於滲流液之性質：

- (a) 不同流體通過界面引起不同污染，致改變界面物理組織，減小 k 值。由表 2 中 No. 163, No. 164, No. 165, No. 166, No. 167, No. 168, No. 169, No. 170, No. 171 等分別顯示且反證之。
- (b) 不同流體通過界面，難易程度取決於其單位粒子體積與界面孔隙大小之相對性。由表 2 中 No. 163, No. 164, No. 165 所示。（此結論又可以於半透膜之滲透資料佐證之）
- (c) 流體濃度增大，則增 k 或削減 k ，端視透過粒子易或難之本性。由表 2 中 No. 163, No. 165 及 No. 166, No. 167, No. 168, No. 169, No. 171 及 No. 172, No. 173, No. 174 等三組所示。（此結論更可供解釋半透膜兩方滲透壓決定於濃度之改變的現象，誠屬舊經驗得新解釋。）

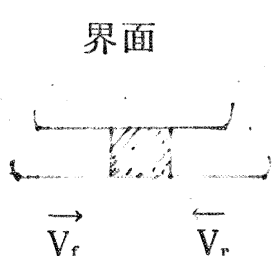
(5) 由本實驗知（表 2 中各對應之 k 、 n 所示） k 越小， n 越大。亦即，凡促使 k 削減之因素必增大 n 。

2 滲流平衡定律：

(1) 具備平衡之基本條件：

- (a) 恒溫：本實驗諸觀測，皆進行於 $22 \pm 1^\circ\text{C}$ 。
- (b) 可逆系：於 U 型管中，流體之方向性僅決定於壓差，且巨觀下之靜止，即微觀中之正逆兩向速率相等。

$$(2) K = \frac{k_r}{k_f} = \frac{h_{o_f}^m}{h_{o_r}^n}$$



k_r , k_f 為兩向之速率常數； n ,
 m 為兩向之滲流階次。如左圖，若
 $V_r = V_f$ ，則滲透；若 $V_f = V_r$ ，
則巨觀下滲流靜止，亦即滲透平衡
，故

- (a) $k_r \cdot h_{o_r}^m = k_f \cdot h_{o_f}^n$ 即 $\frac{k_r}{k_f} = K$ ， K 名之為滲透平衡常數。

(b) $K \neq 1$ 則 $h_{of}^n = h_{or}^m$ ，必 $|h_{of}^n - h_{or}^m| = H_0$ ，即前所命名之滲透壓，足見 k 決定 H_0 之唯一因素。

六、結語：

本實驗應可列爲物理化學課程中化學動力學之實驗模式。